

بررسی اثر پمپ حرارتی در کاهش مصرف انرژی برج های

جداساز C2

مجید عمید پورⁱ، میثم کمالی نژادⁱⁱ، روزبه سالاریⁱⁱⁱ

چکیده

مقادیر زیادی از انرژی برای پالایش اولفین های سبک، مثل اتیلن، در جداسازی محصولات پلیمری با نقطه جوش نزدیک به هم مصرف می شود. از آنجا که جداسازی اتیلن از اتان از نظر نیازهای حرارتی و فنی از مشکل ترین جداسازی هاست، جای زیادی برای بهبود اقتصادی فرایند اتیلن وجود دارد. هدف این مقاله، ارائه یک طرح صنعتی قابل اجرا برای برج های تقطیر یکپارچه حرارتی (HIDiC) برای جداسازی اتیلن از اتان با به کار گیری پمپ حرارتی است. در این مقاله، روشی برای ترکیب حرارتی برجها به وسیله پمپ های حرارتی برقی؛ که بین مراحل میانی غنی سازی و عاری سازی برج کار می کنند ارائه می شود. برای این کار از یک سیکل پمپ حرارتی در میانه برج استفاده شده است تا هزینه کل برق مصرفی را کاهش دهد. در این بهینه سازی از مدول معادلاتی Aspen Plus بهره گرفته شده است و در تابع هدف تشکیل شده به تأثیر مقاومت پنالتی حرارتی و تأثیر کلوگاهی افزایش جریان بخار در بهینه سازی توجه و حالت بهینه آن انتخاب شده است.

کلمات کلیدی

صرفه جویی انرژی، برج تقطیر، پمپ حرارتی، جدا ساز C2، انترکراسیون انرژی، پنالتی حرارتی

Analyzing heat pump effects on energy saving of C2 splitter columns

M.Amidpour; M.Kamalinejad; R.Salary

ABSTRACT

Large quantities of energy are required in distillation of light olefins such as ethylene used for polymer grade separations of close boiling mixtures. Since the ethylene/ethane separation is the more difficult separation in terms of energy and requirement, it also provides greater opportunity for altering the economics of the ethylene process. The purpose of this paper is to introduce an industrially viable; internally heat integrated distillation column (HIDiC) version of a state of art C2 splitter by using a heat pump assisted, stand-alone column. In this article, a methodology is proposed for the thermal integration of electrically driven heat pumping systems between intermediate stages in distillation column using the concept of Column Grand Composite Curve (CGCC). To accomplish this goal, Equation Oriented (EO) modular of Aspen plus is applied. This research differs to other's work in term of heat penalty that causes more utility load and hydraulic bottlenecking in a column. An objective function consisting of utility costs and product revenue is established to maximize the net profit obtained from this process. A sensitivity analysis is executed over different electricity and capital cost scenarios. Eventually, the most competing scenarios in term of total annual profit are determined.

KEYWORDS

Distillation column; C2 splitter; Heat pump; Energy saving; heat penalty

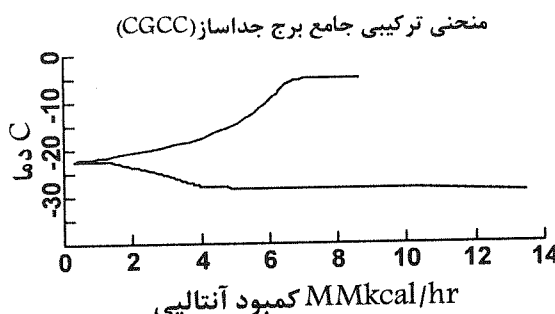
ⁱ استادیار، دانشکده مهندسی مکانیک، دانشگاه صنعتی خواجه نصیرالدین طوسی، amidpour@kntu.ac.ir

ⁱⁱ دانشجوی کارشناسی ارشد، دانشکده مهندسی مکانیک، دانشگاه صنعتی خواجه نصیرالدین طوسی، m_kamalinejad@sina.kntu.ac.ir

ⁱⁱⁱ دانشجوی کارشناسی ارشد، دانشکده مهندسی مکانیک، دانشگاه صنعتی خواجه نصیرالدین طوسی، r.salary@yahoo.com

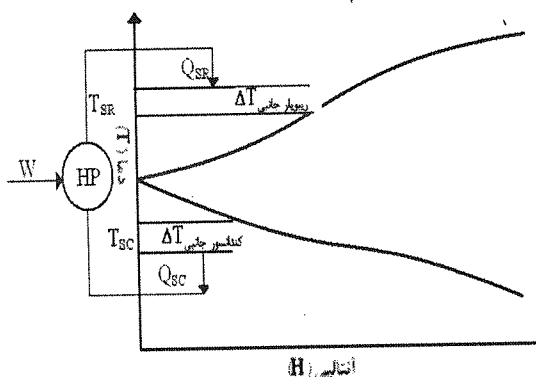
۱- مقدمه

جداسازی مخلوطهایی است که نقطه جوش اجزای آن به هم نزدیک باشند. علاوه بر آن، پمپ‌ها را بیشتر در جایی می‌توان به کار برد که پروفایل CGCC آن‌ها صاف و کم شیب باشد. در مورد برج جdasاز C2 این فرصت وجود دارد، (شکل ۱).



هر برج یکپارچه برای افزایش فشار بخار خروجی از بخش غنی سازی و در نتیجه دمایی بالاتر برای امکان پذیر ساختن انتقال حرارت بین آن و قسمت عاری سازی به یک کمپرسور نیاز دارد [۱]. [۵،۴].

شکل (۲) نحوه استفاده از از دیاگرام CGCC برای هدف گذاری روی بارهای حرارتی را؛ که می‌توان برآحتی برای یک برج منتقل کرد، نشان می‌دهد. در این شکل، فاصله دمایی (جوش آور جانبی ΔT_{AS}) چگالنده جانبی (ΔT_{SC}) نشان دهنده اختلاف دمای مورد نیاز در هر دو مبدل حرارتی است تا انتقال حرارت مورد نیاز فرایند در آنها انجام شود.



شکل(۲): چگونگی استفاده از نمودار CGCC در یکپارچه سازی انرژی در پمپ‌های حرارتی

اگر همه بار حرارتی از مرحله تعادلی چگالنده جانبی بیرون کشیده شود، پیونج جدیدی ایجاد می‌شود، که برای جلوگیری از این پدیده نباید بیش از ۷۵٪ سرریز حرارتی را استفاده کرد. اگر هیچ سینی‌ای به برج اضافه نشود استفاده از مبدل‌های جانبی باعث پنالتی حرارتی می‌شود، (شکل ۳). یک مبدل جانبی، نیروی محركه را کاهش می‌دهد و از کار جdasازی بین مبدل‌ها می‌کاهد. به منظور ثابت نگه داشتن مشخصات محصولات و تعداد سینی‌های

اتیلن در مقادیر زیاد در واحدهای پتروشیمیایی تولید می‌شود. جdasازی الفین‌های سبک از پارافین‌هایی که تعداد کربن‌های برابر دارند جزء انرژی برترین فرایندهای پتروشیمیایی است و علت آن نزدیکی زیاد نسبت فرآریت و نیاز به نسبت بازروانی بالاست و هزینه جاری آنها به علت زیر صفر بودن فرایندها بسیار بیشتر از فرایندهای پالایشگاهی است [۱][۲].

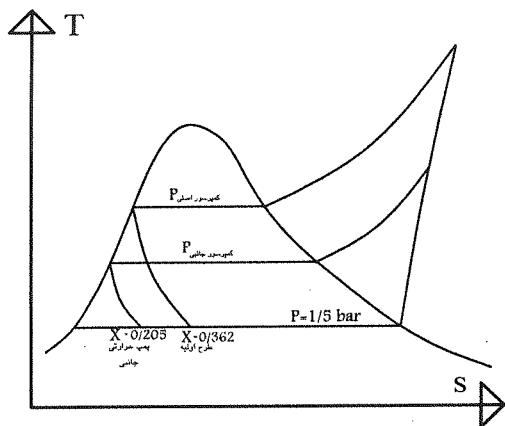
با توجه به این هزینه‌های بالا، استفاده از پمپ‌های حرارتی مورد بررسی قرار شده است. پمپ‌های حرارتی می‌توانند جذب حرارت دفع شده در دمای پایین را جذب کنند و با دریافت انرژی الکتریکی در کمپرسورها این حرارت را در دمایی بالاتر به برج باز پس دهند.

در سیستم‌های ترمودینامیکی منفردی مثل برج‌های تقطیر؛ که از یک منبع حرارتی (تبخیر کننده یا اوپراتور) و یک مصرف کننده حرارت (چگالنده) تشکیل می‌شوند، می‌توان نمودارهای دما-آنالپی را تشکیل داد که به CGCC معروفند. برای یک ترکیب محصول مشخص و تعداد مرافق و نرخ بازروانی ثابت، این دیاگرام، پروفایل کارکرده ترمودینامیکی حالت پایا یک برج و بارهای حرارتی مرتبط با آن را نشان می‌دهد. در کاربردهای سنتی؛ که از پمپ‌های حرارتی در برج‌های تقطیر استفاده می‌شود، غالباً آنها را بین چگالنده به عنوان منبع حرارتی و جوش آور به عنوان مصرف کننده انرژی به کار می‌برند؛ اما از نظر ترمودینامیکی می‌توان چنین پمپ‌هایی را در مرافق میانی بالا و پایین گلوگاه نمودار CGCC^۱ به کار برد.

نمودار CGCC نشان دهنده بار حرارتی است که می‌توان در یک دمای خاص به برج داد و یا از آن گرفت تا بتوان به شرایط ترمودینامیکی تعادلی دست یافت. حال اگر حرارتی بیشتر از آنچه در نمودارهای CGCC به دست آمده است از برج بگیریم تعادل ترمودینامیکی ستون به هم می‌خورد و کیفیت محصولات به دست آمده نیز دگرگون می‌شود. در این مقاله، برخلاف کارهای گذشته، در کاربرد پمپ‌های حرارتی به موضوع پنالتی حرارتی و تأثیر آن به طور ویژه توجه شده است [۱]، [۴،۳].

۲- یکپارچه سازی گرمایی پمپ حرارتی

برای آنکه به کار گیری پمپ‌های حرارتی در برج‌های منفرد بررسی اقتصادی شود، باید در محدوده‌هایی کار کند که شیفت‌های دمایی کوچک باشد. در برج‌های تقطیر، این به معنای



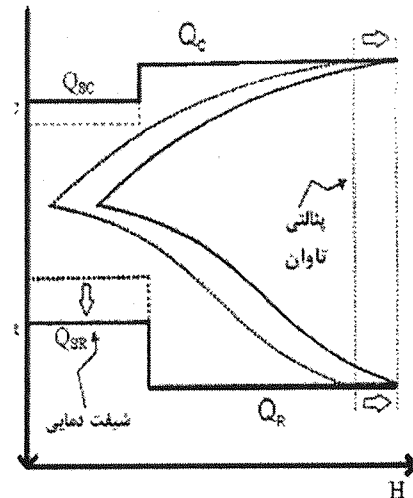
شکل(۳): تأثیر استفاده از کمپرسور جانبی در کیفیت مبرد

همان طور که در شکل(۳) مشاهده می‌شود، درصد مایع مبرد خروجی از شیر اختناق در سیکل سرمایش جانبی بیشتر است. این درصد مایع بالا به معنای نرخ چریان جرمی کمتر و در نتیجه کار کمتر کمپرسور است که موجب سوددهی بیشتر بر ج می‌شود. برای ساده سازی شبیه سازی و فرایند محاسباتی سیستم پمپ حرارتی، فرض شده است که سیال عامل در گستره قابل قبولی از عملکرد دمایی باشد و تحت سیکل رانکین عمل کند.

۴- مطالعه موردنی

برای نشان دادن سوددهی سیستم پمپ حرارتی، یک جداساز C2 برای بهینه سازی انتخاب شد. دیاگرام چریانی فرایند (PFD) یک برج تقطیر اتان/اتلن در حالت اولیه در شکل(۵) نمایش داده شده است و در شکل(۶) طرح پیشنهادی برای بهبود هزینه یوتیلیتی مصرفی به همراه نحوه قرارگیری کمپرسور و مبدل‌های جانبی نشان داده شده است.

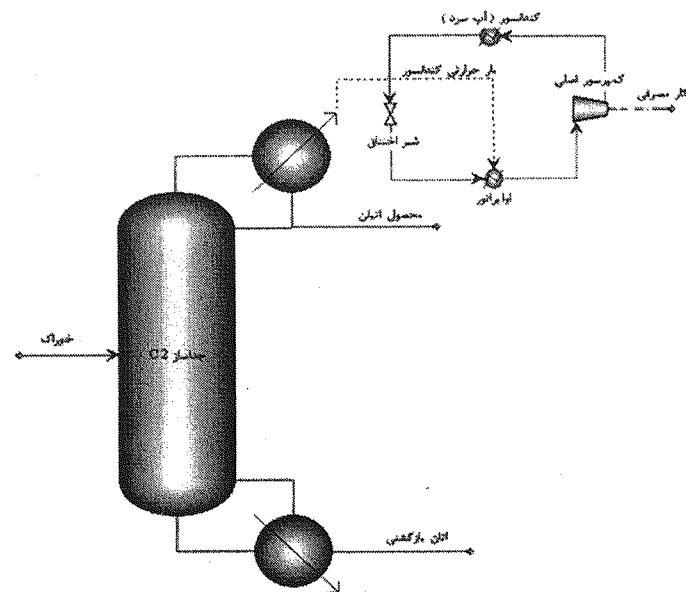
برج، کار جداسازی بیشتری باید در قسمت‌های دیگر برج انجام پذیرد که سبب افزایش اتلاف انرژی و جریمه انرژی یا چریان برگشتی می‌شود. با ثابت نگه داشتن تعداد سینی‌ها، پنالتی انرژی باعث افزایش میزان چریان بخار در برخی قسمت‌ها و در نتیجه افزایش قطر مورد نیاز ستون و افزایش سطح مبدل حرارتی می‌گردد [۱۰۹].



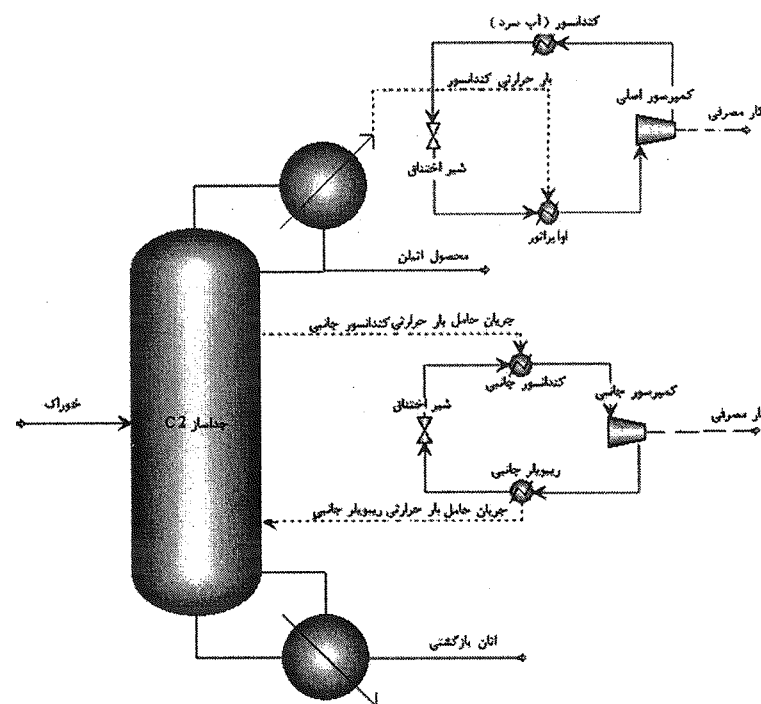
شکل(۴): نحوه تأثیر تاوان حرارتی روی مجموع بار مبدل ها

۳- سیکل سرمایش

دو سیکل سرمایشی برای این برج یکپارچه حرارتی استفاده شده است. کمپرسور اصلی باید فشار مبدل را چنان بالا ببرد که دمای اشباع آن لااقل 10°C بیشتر از آب خنک کن موجود باشد؛ و میزان افزایش فشار کمپرسور جانبی نیز چنان است که دمای بخار اشباع 10°C بیش از مایع خروجی از جوش آور جانبی باشد. محدودیت دیگری که بر مقدار حرارت جوش آور جانبی اعمال شده، آن است که با توجه به دما و مقدار حرارت خروجی از کمپرسور جانبی باید حداقل اختلاف دمای 10°C برای مبدل‌ها تأمین شود، (شکل(۴)).



شکل(۵): شکل شماتیک طرح اولیه جداساز C2



شکل(۶): شکل شماتیک طرح پیشنهادی برای جداساز C2 به همراه سیکل پمپ حرارتی جانبی

60	سینی خوارک
0/9	بازده سینی
39000Kg/hr	دبی محصول بالای برج
برای طرح اولیه	ذرخ بازروانی بالای برج
4	برای طرح اولیه
0/9998	کیفیت محصول اتیلن
0/015	کیفیت ناخالصی محصول اتان
	پروفایل فشار ستون
20bar	فشار سینی ۱
20/5bar	فشار سینی ۲
21bar	فشار سینی خوارک
21.5bar	فشار جوش آور

شرایط کارکرد و مشخصات خوارک و محصولات و همچنین هزینه سناریوهای مختلف الکتریسیته در جدول(۱) نشان داده شده است [۱][۱۴].

جدول(۱): مشخصات برج و خوارک و محصولات و یوتیلیتی

دبی خوارک	50000Kg/hr	دماخوارک
25 °C		فشار خوارک
2bar		فشار خوارک
0.8	C2H4	ترکیب خوارک(درصد مولی)
0/2	C2H6	
100		تعداد سینی

از نوع بازگشتی مطرح شود استراتژی SM برای این مسائل یکپارچه بسیار زمان بر است. رهیافت EO، استراتژی جایگزین برای حل چنین مسائلی است که معادله همه مدل ها را جمع کرده و سپس همه آنها را به جای آن که به صورت سری حل کند به صورت همزمان حل می کند و به این ترتیب شبیه سازی بسیار زود تر همگرا می شود [۱۴].

۶- فرایند بهینه سازی

برای شبیه سازی برج اولیه، نسبت بازروانی جریان بالای برج و دبی محصول اتیلن، ثابت فرض شده است و بارهای چگالنده و جوش آور جانبی محاسبه می شود. در شبیه سازی مدل پیشنهادی هر دو مقدار نسبت بازروانی و دبی جریان متغیر قرار داده شده اند و بنا به حداقل کیفیت های قابل قبول محصولات بالا و پایین برج، بهینه مقدار آنها به دست آمده است. فاکتور اصلی هزینه عملیاتی؛ که همان هزینه الکتریسیته کمپرسور است، از روی بار سرمایی کمپرسور به دست می آید؛ سپس برای افزایش سوددهی برج از یک کمپرسور، یک چگالنده و یک جوش آور جانبی برای یکپارچه سازی حرارتی بخش های عاری سازی و غنی سازی برج استفاده شد. از آنجا که دماها و دیگر متغیرها در برج به صورت دینامیک تغییر می کردند از انتقال دهنده های اطلاعاتی برای در نظر گرفتن هر تغییر در تکرارها استفاده شد و با توجه به آن که در هر شبیه سازی با متغیرهای ثابت، تنها با تغییر هزینه الکتریسیته شاهد بارهای حرارتی متفاوتی برای چگالنده و جوش آور جانبی هستیم، باید بررسی خود را روی شرایط مختلفی از بهای الکتریسیته انجام دهیم. تأثیر اصلاحات پیشنهادی روی هزینه سالانه یوتیلیتی بنا به سه سناریوی قیمت برق در شکل (۷) نشان داده شده است.

0/4 \$/hr	قیمت محصول اتیلن
0/1 \$/hr	قیمت محصول اتان
0/16 \$ کسر	سناریوی هزینه بالای الکتریسیته
0/1 \$ کسر	سناریوی هزینه متوسط الکتریسیته
0/04 \$ کسر	سناریوی هزینه پایین الکتریسیته

برای تعیین هزینه سرمایه گذاری مورد نیاز فرض شده است که پمپ حرارتی و چگالنده و جوش آور مبدل هایی از نوع لوله-پوسته ای و جنس آنها کربن استیل باشد. در این مثال، ضریب انتقال حرارت کلی ثابت و برای تعیین ابعاد واحد مورد نظر به کار خواهد رفت. ضریب انتقال حرارت کلی چگالنده جانبی $W/m^2.C$ ۳۰۰۰ و برای جوش آور جانبی $W/m^2.C$ ۲۲۰۰ است. تراکم در پمپ به وسیله یک کمپرسور سانتریفیوژی با کارایی ۷/۲ صورت گرفته است. معادله هزینه برای کمپرسور و مبدل های لوله-پوسته ای از روابط زیر به دست می آیند [۱۲].

$$CC=377.22 \cdot P + 36709 \quad (3)$$

$$Cex=0.0003 A2 + 27.778 A + 1951.1 \quad (4)$$

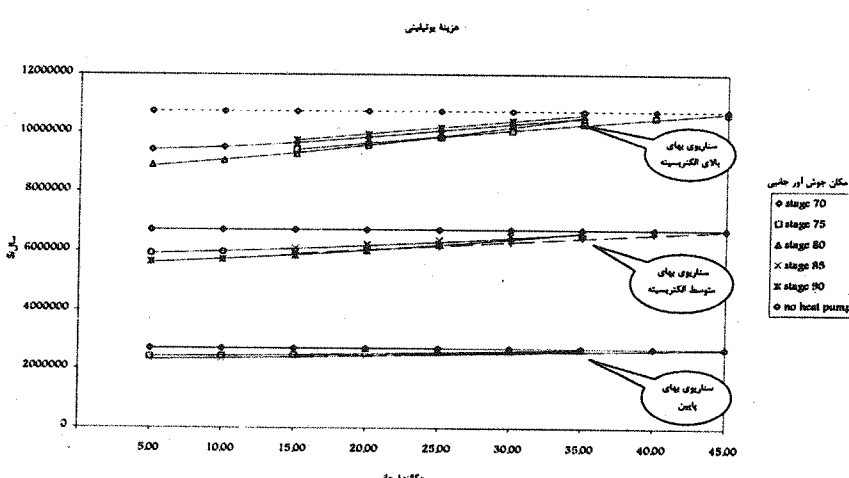
۵- تکنیک شبیه سازی

برای شبیه سازی این فرایند از مدل های معادلاتی Aspen plus استفاده شده است. برای تخمین زدن خواص ترمودینامیکی نیز مدل SRK به کار گرفته شده است. مدل سازی بر پایه معادلات، راهی نو و بسیار موثر برای حل انواع خاصی از مسائل است. دو گونه مهم از این مسائل عبارتند از:

الف) شبیه سازی فرایند های بازگشتی با یکپارچگی بالا

ب) فرایند های بهینه سازی

در Aspen Plus رهیافت اصلی مدل سازی، مدل متوالی (SM) است. در استراتژی SM هر واحدی در صفحه جریان به صورت سری و پشت سر هم حل می شود. وقتی مسائلی

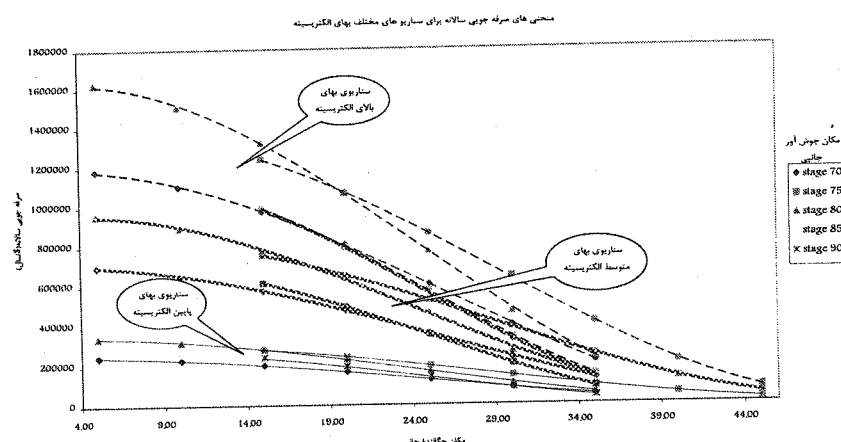


شکل (۷): تغییرات هزینه یوتیلیتی با تغییر شیفت های دمایی بین چگالنده و جوش آور جانبی در سناریوهای مختلف بهای الکتریسیته

هر چگالنده جانبی را پیدا می کند. [۹-۱۲] سناریوهای زیادی از شیفت‌های حرارتی بین مبدل‌های جانبی بررسی شده است تا اقتصادی ترین مکان پمپ حرارتی یافته شود. در شکل (۸)، صرفه جویی سالانه حاصل از این تحقیق آورده شده است. در این شکل نیز سه سناریوی قیمت الکتریسیته بررسی شده است، هزینه کم الکتریسیته در مورد واحدهای پتروشیمیایی است که در نزدیکی میادین گازی هستند و به این دلیل هزینه تولید الکتریسیته در آنها پایین است و هزینه بالای الکتریسیته در مورد واحدهایی است که مجبورند انرژی خود را از طریق کشتی‌های حامل LNG تهیه کنند.

برای مقایسه این سناریوها مرحله جوش آور جانبی، ثابت در نظر گرفته شده و جایابی چگالنده جانبی بررسی شده است. رقابتی ترین گزینه‌ها در جدول (۲) آمده است. این موارد برای بررسی دقیق تر و رفع سایر مسائل همچون تعادل هیدرولیکی انتخاب می‌شوند.

همان طور که قبل بحث شد، دو قید بار حرارتی بر روی مبدل‌های جانبی اعمال می‌شود و به مقدار این بار اجازه داده می‌شود که چنان تغییر کند که هزینه کلی عملیاتی کمینه شود. برای پیدا کردن سودآورترین سناریو، یک تابع هدف بهینه سازی تشکیل شده است که شامل هزینه‌های تجهیزاتی و عملیاتی (برق مصرفی) است. علاوه بر آن، قید دیگری نیز بر روی معادله هدف؛ که بیشینه سازی سود است، اعمال می‌شود، که این قید باید وجود حداقل اختلاف دمای 10°C برای مبدل‌های جانبی را تضمین کند. برای پاسخ گویی به وابستگی مقدار بار حرارتی چگالنده جانبی به تغییرات قیمت الکتریسیته، سه سناریوی قیمت برای بهینه سازی به کار گرفته می‌شود. اقتصادی‌ترین حالت برای برج این نیست که بار حرارتی استفاده شده در چگالنده جانبی بیشینه شود، چرا که این کار باعث پنالتی حرارتی و در نتیجه، افزایش کار کمپرسور می‌شود. در هر مورد مکان یابی پمپ حرارتی، به این نکته توجه شده و بسته نرم افزاری، سودآور ترین بار حرارتی برای



شکل (۸) : تغییرات صرفه جویی سالانه با تغییر شیفت‌های دمایی بین چگالنده و جوش آور جانبی در سناریوهای مختلف بهای الکتریسیته

روابط قیمت (۳) و (۴) تعیین می‌شود. مقدار سرمایه گذاری نهایی فرایند اتیلن از روش نسبت هزینه تجهیزات به هزینه نهایی تخمین زده می‌شود [۱۰]، [۱۳].

نسبت‌های سرمایه گذاری به صورت زیر هستند:

(۵)	۰/۲۵.	هزینه کل قطعات خریداری شده
(۶)	۰/۲۰.	هزینه کل قطعات خریداری شده
(۷)	۰/۱۵.	هزینه کل قطعات خریداری شده
(۸)	۰/۰۷.	هزینه کل قطعات خریداری شده
(۹)	۰/۳۰.	هزینه کل قطعات خریداری شده

در این روابط فرخ سود سرمایه سالانه (i) 10% منظور و دوره عمر تجهیزات (n) نیز ۱۰ سال برآورد شده است. از هزینه یوتیلیتی گرامیشی در مقایسه با هزینه سرمایش چشم پوشی شده است.

هزینه نصب تجهیزات
هزینه لوله کشی (نصب شده)
هزینه سیستم‌های کنترل و قطعات آن
هزینه سیستمهای الکتریکی
هزینه های دیگر

برای تخمین دوره‌های بازگشت سرمایه طرح‌های پیشنهادی، باید همه هزینه‌های ذکر شده در بالا با هم جمع و سپس سالانه شوند تا بتوان صرفه جویی سالانه سناریوهای منتخب را مقایسه کرد.

۷- تحلیل اقتصادی

هزینه اقتصادی یک فرایند جداسازی اتیلن برای مقایسه سوددهی طرح‌های پیشنهادی پمپ‌های حرارتی و طرح اولیه ضروری است. هزینه خرید هر کدام از تجهیزات اصلی با

محاسبه و در شکل (۹) ارائه شده است.

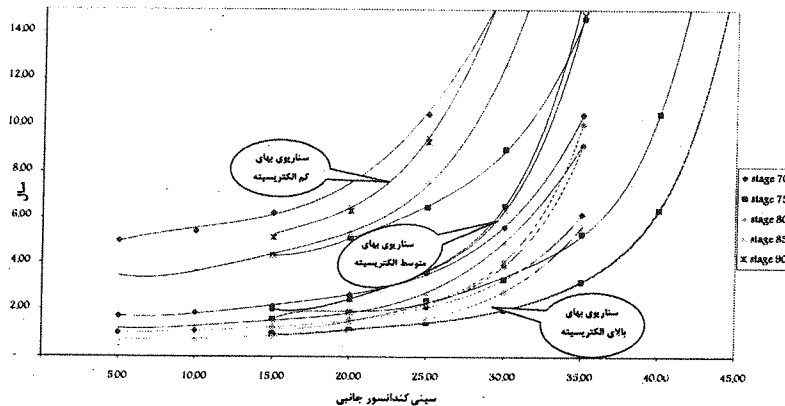
هزینه کلی سالانه بنا به فرمول های زیر محاسبه می شوند:
دوره های زمانی بازگشت سرمایه برای همه سناریوها

(۱۰)

$$\frac{i(1+i)^n}{(1+i)^n - 1} = \text{هزینه کل سرمایه}$$

(۱۱)

$$= \text{هزینه سالانه عملیاتی} + \frac{\text{هزینه سالانه}}{\text{دوره بازگشت سرمایه}} \text{ هزینه سالانه کل}$$



شکل (۹): تغییرات دوره بازگشت سالانه با تغییر شیفت های دمایی بین چگالنده و ریبوولر جانبی در سناریوهای مختلف بهای الکتریسیته

2.61	70-20	470635.2	752940.3	
1.57	75-15	749188.8	711702.9	
1.87	75-20	642406.4	725347.4	
1.23	70-15	971811.2	724050	
1.52	70-20	801896	738048	
1.13	75-20	1059357	722486	سناریوی هزینه بالا
1.43	75-25	855459.2	738448	الکتریسیته
0.87	80-15	1318200	722486.3	
1.09	80-20	1070378	716950	

۸- نتیجه گیری

پروفایل دما-آنتالپی یک برج تقطیر نشان دهنده امکانپذیری ترمودینامیکی یک پمپ حرارتی در عملیات جداسازی است. کاربرد پمپ های حرارتی در مراحل میانی یک برج برتری هایی برای آن در بازیابی حرارت از چگالنده برای استفاده مجدد در جوش آور نسبت به برج های فراهم می کند. یکی از علت ها آن است که بین مراحل میانی یک برج نیازهای حرارتی در اختلاف دماهای کوچک تری شیفت پیدا می کند، پس نیاز کمتری به کار خارجی دارند و نرخ بازگشت داخلی سرمایه را بهبود می بخشند. ضرقه جویی انرژی از راه بازیابی حرارت کم کیفیت با استفاده از پمپ حرارتی، در بسیاری از کارها به خصوص در جاهایی که با بار حرارتی زیاد، اختلاف دمایی کم دارند مفید واقع می شود. یکی از عوامل محدود کننده استفاده از سیستم های پمپ حرارتی مسائل ناشی از پنالتی های حرارتی است که باعث افزایش مصرف حرارت

موارد رقابت پذیر در جدول (۲) همراه با جزئیات سرمایه گذاری و دوره های بازگشت سرمایه آورده شده اند. از بین کلیه مواردی که از نظر سود اقتصادی و زمان بازگشت سرمایه مناسب بودند، مواردی انتخاب شدند که از نظر تعادل هیدرولیکی و میزان جریان بخار در بخش غنی سازی برج به ظرفیت مجاز برج اولیه نزدیک باشند و بتوان آنها را برآختی اصلاح کرد. تحلیل و استنتاجی مشابه آنچه کاهش نیروی محركه در ایجاد پنالتی حرارتی برج داشت، موجب افزایش جریان بخار در ستون و در نتیجه باعث کاهش ظرفیت برج می شود. برای رفع این گلوبه هیدرولیکی می توان از دو راهکار زیر استفاده کرد:

- الف) افزایش تعداد سینی های بالای چگالنده جانبی و پایین جوش آور جانبی به تعادل که بتواند کمبود کار جداسازی ناشی از کم شدن نیروی محركه را جبران کند.
- ب) اگر موقعیت برای افزایش تعداد سینی ها وجود ندارد، یا باید از سینی های پر بازده تر یا از آنکه ها استفاده کنیم [۱۱،۱۲].

جدول (۲): گزینه های برتر بین شیفت های دمایی بین چگالنده و جوش آور جانبی در سناریوهای مختلف بهای الکتریسیته

هزینه الکتریسیته	هزینه سالانه صرفه جویی	دوره بازگشت	هزینه گذاری (سال/\$(S))	سرمایه گذاری (سال/\$(S))
سناریوی هزینه پایین	4.31	75-15	276912	1214264
سناریوی هزینه بالای	3.71	80-10	314565.6	703880.1
سناریوی هزینه متوسط	4.29	80-15	276846.4	716504.1
سناریوی هزینه بالای	2.11	70-15	571052	729243.7

- B.E.A. Terranova, W. Westberg, "Temperature-heat diagrams for complex columns. I. Intercooler / inter heated distillation columns", Int. Engng. Chem. Res. 28 (1989) 1374 - 1379.
- Z. Olujic, L. Sun, A. de rijke, P.J. Jansens, "Conceptual design of an internally heat integrated propylene-propane splitter", Energy 1(2006) 859-873.
- D.L. Hodgett, "The assessment of heat pump assisted distillation using thermodynamic criteria", Second International Symposium on Large Scale Applications of Heat Pumps. York, England, Capenhurst Electricity.
- S. Gopichand, S. Devotta, T. Omideyi, F.A. Holland, "Heat pump assisted distillation: potential for industrial applications", Int. J. Energy Res. 12 (1982) 569-582.
- J.R. Flower, R. Jackson, "Energy requirements in the separation of mixtures by distillation", Trans. Instn. Chem. Engrs. 42 (1964) T249 - T258.
- H.J. Sauer Jr, R.H. Howell, "Heat Pump Systems". 1st edn, Krieger, New York, 1991.
- Max S. Peters, "Plant Design and Economical Engineers, Fifth edition". McGraw-Hill chemical engineering series, 2003, pp. 891-898.
- APLUS 111 Getting Started EO Modeling, 2001, Aspen Technology, Cambridge.
- [۷] در چگالنده و جوش آور جانبی می‌شود. در نمونه‌ای که بررسی شد، این پدیده باعث افزایش کار خارجی سیستم می‌شود. اثر دیگر آن، ایجاد گلوگاه هیدرولیکی است که به علت افزایش نرخ بازروانی برلی جبران کاهش نیروی محرکه ایجاد می‌شود. اثرات این پدیده را می‌توان با افزایش تعداد سینی‌ها و یا مراحل پر بازده تر تعادلی اصلاح کرد.
- [۸] با توجه به تمام محدودیت‌ها و قابلیت‌هایی که در مقاله به آنها اشاره شد، برای هر سناریوی هزینه الکتریسیته موارد زیر از نظر صنعتی قابلیت اجرایی بیشتری دارند:
- [۹] قراردهی چگالنده و جوش آور در سینی‌های ۱۰ و ۸۰ برای هزینه پایین و سینی ۱۵ و ۷۵ برای هزینه متوسط و ۱۵ و ۸۰ برای هزینه الکتریسیته بالا، هم قابلیت اقتصادی بالایی به طرح می‌دهد، هم از نظر قابل حل بودن مشکلات پناحتی حرارتی و هیدرولیکی، قابلیت اجرایی بالایی دارد.
- [۱۰]
- [۱۱]
- [۱۲]
- [۱۳]
- [۱۴]

۱۱- زیرنویس‌ها

^۱ Column Grand composite Curve

^۲ Sequential Equation

^۳ Equation Oriented

A	سطح انتقال حرارت مبدل ها
n	طول عمر مفید تجهیزات
P	توان کمپرسور
T _{SR}	دمای سیال عامل در جوش آور جانبی
T _{SC}	دمای سیال عامل در چگالنده جانبی
Q _{SR}	بار حرارتی جوش آور جانبی
Q _{SC}	بار حرارتی چگالنده جانبی
W	کار کمپرسور

۱- مراجع

- میثم کمالی نژاد، بهینه سازی اکرزی- پینچ برج های نقطه‌یابی، پایان نامه کارشناسی ارشد مهندسی سیستم‌های انرژی، دانشکده مکانیک دانشگاه خواجه نصیر الدین طوسی، ۱۳۸۶.
- [۱]
- James G Gebbie, Micheal K. Jensen, piotr A. Domanski, "Experimental transient performance of a heat pump equipped with a distillation column", International journal of refrigeration 30(2007) 499-505.
- [۲]
- R. Bernstead, F.W. Sharman, "Heat pumps and pinch technology", Heat Recovery Systems & CHP 10 (4) (1990) 387-398.
- [۳]
- E. Wallin, P.A. Franck, T. Bertson, "Heat pumps in industrial processes an optimization methodology", Heat Recovery Systems & CHP 10 (4) (1990) 437- 446.
- [۴]
- P. Rivera-Ortega et al., "thermal integration of heat pumping systems in distillation columns" / Applied Thermal Engineering 19 (1999) 819-829.
- [۵]
- S. Bandyopadhyay et al, "Temperature-enthalpy curve for energy targeting of distillation columns", Computers Chem.Engng vol.22, pp. 1733-1744, 1998.
- [۶]